

8. James, R. D. Large field-induced strains in ferromagnetic shape memory materials / R. D. James, R. Tickle, M. Wuttig // Mater. Sci. Eng. – 1999. – V. A273–275. – P. 320–325.
9. Tickle, R. Ferromagnetic shape memory in the NiMnGa system / R. Tickle, R. D. James, T. Shield, M. Wuttig, V. V. Kokorin // IEEE Trans. Magn. – 1999. – V. 35. – P. 4301–4310.
10. O’Handley, R. C. Phenomenology of giant magnetic-field induced strain in ferromagnetic shape-memory materials / R. C. O’Handley, S. J. Murrey, M.
11. Murrey, S. J. 6% magnetic-field-induced strain by twin-boundary motion in ferromagnetic Ni-Mn-Ga / S. J. Murrey, M. Marioni, S M. Allen, R. C. O’Handley // Appl. Phys. Lett. – 2000. – V. 77. – P. 886–888.
12. Saren, A. Dynamic twinning stress and viscous-like damping of twin boundary motion in magnetic shape memory alloy Ni-Mn-Ga / A. Saren, K. Ullakko // Scripta Materialia. – 2017. – V. 139. – P. 126–129.
13. Остриков, В. О. Статика и динамика границы раздела аустенит / мартенсит в нагруженном призматическом монокристалле с эффектом памяти формы, находящемся в жесткой заделке / В. О. Остриков, О. М. Остриков // Машиностроение. – Минск: БНТУ, 2021. Вып. 33. – С. 139–147.
14. Straka, L. Temperature dependence of twinning stress of Type I and Type II twins in 10M modulated Ni–Mn–Ga martensite / L. Straka, A. Soroka, H. Seiner, H. Hänninen, A. Sozinov // Scripta Materialia. – 2012. – V. 67. – P. 25–28.
15. Остриков, О. М. Физическая модель движения границы остаточного двойника / О. М. Остриков // Вестник Полоцкого государственного университета. Серия С. Фундаментальные науки. Физика. – 2016. – № 4. – С. 103–107.
16. Воднев, В. Т. Основные математические формулы: Справочник / В. Т. Воднев, А. Ф. Наумович, Н. Ф. Наумович. – Мн.: Выш. шк., 1988. – 269 с.
17. Зайцев, В. Ф. Справочник по обыкновенным дифференциальным уравнениям / В. Ф. Зайцев, А. Д. Полянин. – М.: Физматлит, 2001. – 576 с.

Поступила 15.07.2022

УДК 539.3

Василевич Ю. В.¹, Остриков В. О.², Остриков О. М.²

**СТАТИКА И ДИНАМИКА ГРАНИЦ РАЗДЕЛА
АУСТЕНИТ / МАРТЕНСИТ МАРТЕНСИТНОЙ ПРОСЛОЙКИ
В НАГРУЖЕННОМ ПРИЗМАТИЧЕСКОМ ФЕРРОМАГНИТНОМ
МОНОКРИСТАЛЛЕ С ЭФФЕКТОМ ПАМЯТИ ФОРМЫ,
НАХОДЯЩЕМСЯ В ЖЕСТКОЙ ЗАДЕЛКЕ**

*1. Белорусский национальный технический университет,
Минск, Беларусь*

*2. УО «Гомельский государственный технический университет имени П. О. Сухого»,
Гомель, Беларусь*

Решена статическая и динамическая задача для находящегося в жесткой заделке нагруженного призматического монокристалла с памятью формы с находящейся в нем мартенситной прослойки. Показано, что в статическом равновесии мартенситной прослойки при данной схеме нагружения в плоскостях границ раздела аустенит / мартенсит действуют силы противоположного знака. При этом изменение ширины мартенситной прослойки линейно зависит от разности скоростей границ раздела.

Введение. В современном машиностроении широко используются материалы с эффектом памяти формы. Структура используемого материала существенно влияет на прочностные и деформационные характеристики в реализуемых изделиях при действии

на них силовых нагрузок во время эксплуатации. Представляет научный и практический интерес исследование призматического монокристалла с эффектом запоминания формы с двумя границами раздела, между которыми находится мартенситная или аустенитная прослойка [1–5]. Объем данной прослойки определяет обратимые размеры материала и полностью зависит от положения границ раздела. Чем более подвижными являются границы раздела аустенит / мартенсит, тем легче ими управлять с помощью магнитного поля [6].

Цель работы – решение статической и динамической задач для границ мартенситной прослойки в призматическом нагруженном монокристалле, находящемся в жесткой заделке.

Постановка задачи. Монокристаллический призматический образец с мартенситной прослойкой, находящийся в жесткой заделке, в случае действующей на его незакрепленный торец силы \vec{F} , схематически изображен на рис. 1.

Пусть между границами раздела находится мартенситная прослойка длиной l_m (рис. 1), а между торцами призматического монокристалла и мартенситной прослойкой – две аустенитные фазы каждая длиной l_{a1} и l_{a2} соответственно (рис. 1). Следует отметить, что при наличии в призматическом монокристаллическом образце двух границ раздела торцевые плоскости параллельны друг другу, в то время как в случае одной границы – не параллельны [6]. Таким образом, для решения технологических задач получения устройств на основе ферромагнитных монокристаллов с памятью формы для задания параллельности торцов призматического рабочего элемента из данного материала необходимо введение в него четного количества границ раздела аустенит / мартенсит.

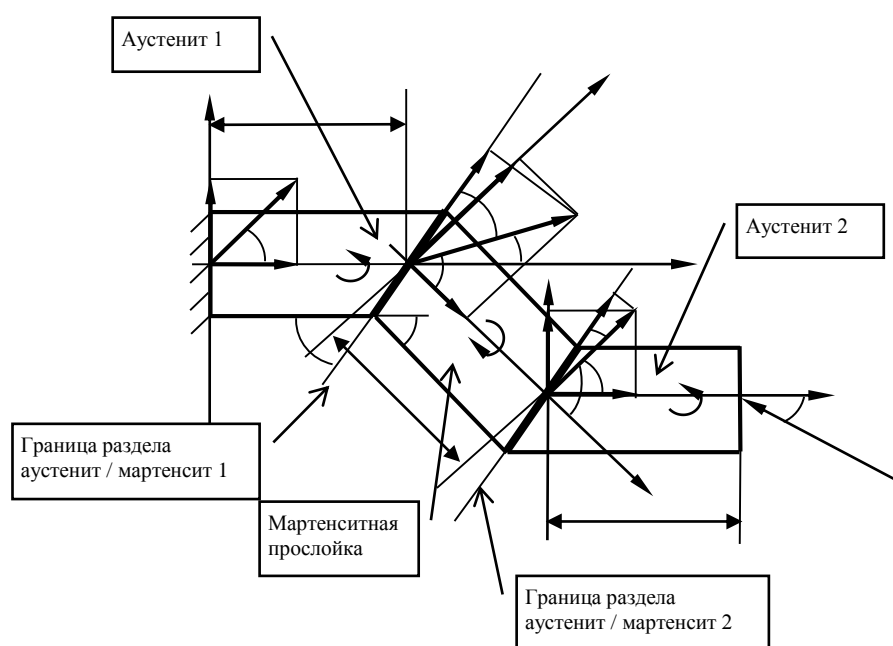


Рис. 1. Схематическое изображение находящегося в жесткой заделке нагруженного призматического монокристаллического образца с мартенситной прослойкой

В плоскости рис. 1 мартенситная прослойка повернута относительно аустенитных частей монокристалла на угол φ , а границы раздела аустенит / мартенсит по отношению к следам в рассматриваемой плоскости граней аустенитных частей призмы – под одинаковыми углами ψ . Примем $\psi \neq \varphi$, а случай $\psi = \varphi$ будем считать частным.

Реакцию заделки \vec{R}_A , также как и силы \vec{F}_B и \vec{F}_C в точках B и C (рис. 1), разложим на составляющие: \vec{X}_A и \vec{Y}_A , \vec{X}'_B и \vec{Y}'_B , \vec{X}_C и \vec{Y}_C , соответственно. Тогда справедливы следующие соотношения:

$$\vec{R}_A = X_A \vec{i} + Y_A \vec{j}; R_A = \sqrt{X_A^2 + Y_A^2}; \operatorname{tg} \alpha = Y_A / R_A, \quad (1)$$

$$\vec{F}_B = X'_B \vec{i}' + Y'_B \vec{j}'; F_B = \sqrt{X'^2_B + Y'^2_B}; \operatorname{tg} \beta = Y'_B / F_B, \quad (2)$$

$$\vec{F}_C = X_C \vec{i} + Y_C \vec{j}; F_C = \sqrt{X_C^2 + Y_C^2}; \operatorname{tg} \theta = Y_C / F_C. \quad (3)$$

Величины сил \vec{F}_{ext1} и \vec{F}_{ext2} , действующих в плоскостях границ раздела аустенит / мартенсит, могут быть найдены из соотношений:

$$F_{ext1} = F_B \cos \delta, \quad (4)$$

$$F_{ext2} = F_C \cos \chi, \quad (5)$$

где δ и χ – углы наклона сил \vec{F}_B и \vec{F}_C к соответствующим плоскостям границ раздела аустенит / мартенсит (рис. 1).

Пусть к оси CX сила \vec{F} ориентирована под углом γ (рис. 1), который будем считать произвольным.

Примем допущение о невесомости рассматриваемого призматического образца.

Решение статической задачи.

1. Для аустенитной части призматического монокристалла с незакрепленным в жесткой заделке торцом, на который действует сила \vec{F} (рис. 1), в статическом случае будем иметь

$$\vec{F}_C + \vec{F} = 0; \quad (6)$$

$$\sum_i F_{icx} = X_C - F \cos \gamma = 0; \quad (7)$$

$$\sum_i F_{icy} = Y_C + F \sin \gamma = 0; \quad (8)$$

$$\sum_i M_C(F_i) = Fl_{a2} \sin \gamma + M_C = 0. \quad (9)$$

Учитывая, что

$$X_C = F_C \cos \theta, \quad (10)$$

$$Y_C = F_C \sin \theta. \quad (11)$$

Из (7) и (8) получим

$$F_C \cos \theta = F \cos \gamma, \quad (12)$$

$$F_C \sin \theta = -F \sin \gamma. \quad (13)$$

Отсюда $\operatorname{tg} \theta = -\operatorname{tg} \gamma$, что выполняется, например, при $\theta = -\gamma$ [7]. Тогда

$$F_C = F. \quad (14)$$

Из (9) получаем

$$M_C = -Fl_{a2} \sin \gamma. \quad (15)$$

2. Для мартенситной прослойки для обеспечения статического равновесия должны выполняться условия:

$$\vec{F}_B + \vec{F}_C = 0; \quad (16)$$

$$\sum_i F_{iBX'} = F_B \cos \beta + F_C \cos \omega = 0; \quad (17)$$

$$\sum_i F_{iBY'} = F_B \sin \beta + F_C \sin \omega = 0; \quad (18)$$

$$\sum_i M_B(F_i) = F_C l_m \sin \omega - M_B + M_C = 0. \quad (19)$$

Здесь учтено, что

$$X'_B = F_B \cos \beta; Y'_B = F_B \sin \beta; X'_C = F_C \cdot \cos \omega; Y'_C = F_C \sin \omega. \quad (20)$$

На рис. 1 \vec{X}'_C и \vec{Y}'_C не показаны для уменьшения его загромождения.

Не трудно показать, что условия (17) и (18) выполняются при $\beta = \omega$. При этом, принимая во внимание (14), получим

$$F_B = -F_C = -F. \quad (21)$$

Из (19), с учетом (15) и (21), будем иметь

$$M_B = F(l_m \sin \omega - l_{a2} \sin \gamma). \quad (22)$$

3. Для аустенитной части монокристалла с закрепленным в жесткой заделке торцом (рис. 1) при статическом равновесии справедливо

$$\vec{R}_A + \vec{F}_B = 0; \quad (23)$$

$$\sum_i F_{iAX} = X_A + F_B \cos \vartheta = 0; \quad (24)$$

$$\sum_i F_{iAY} = Y_A + F_B \sin \vartheta = 0; \quad (25)$$

$$\sum_i M_A(F_i) = F_B l_{a1} \sin \vartheta + M_A - M_B + M_C = 0. \quad (26)$$

Для уменьшения загромождения рис. 1 на нем векторы \vec{X}_B и \vec{Y}_B не показаны. При этом из (24), (25) и (26) с учетом (21) следует

$$X_A = -F_B \cos \vartheta = F \cos \vartheta; \quad (27)$$

$$Y_A = -F_B \sin \vartheta = F \sin \vartheta; \quad (28)$$

$$M_A = F(l_{a1}\sin\vartheta - 2l_{a2}\sin\gamma - l_m\sin\omega). \quad (29)$$

Принимая во внимание (14) и (21) соотношения (4) и (5) можно представить в виде

$$F_{ext1} = -F\cos\delta, \quad (30)$$

$$F_{ext2} = F\cos\chi. \quad (31)$$

Динамика границ раздела. Решение динамической задачи будем вести на базе приведенного в [6] уравнения движения единичной границы раздела аустенит / мартенсит:

$$\frac{\rho A_0}{k_0} \left(\frac{dL}{dt} \right)^2 + \frac{m_0 + \rho A_0(L - L_0)}{k_0} \frac{d^2L}{dt^2} = F_{ext}, \quad (32)$$

здесь ρ – объемная массовая плотность материала;

A_0 – площадь поперечного сечения образца;

k_0 – коэффициент, связывающий скорость движения границы раздела аустенит / мартенсит (V_b) со скоростью плоскопараллельного перемещения мартенситной части монокристалла (V_m), причем $k_0 = V_b/V_m = \cos\psi + \sin\psi/\tan\phi$ [6];

m_0 – начальная масса мартенситной части образца;

L_0 – начальное положение границы раздела аустенит / мартенсит;

L – текущее положение границы на оси AX, либо CX;

t – время;

F_{ext} – сила, действующая в плоскости границы раздела (в нашем случае $L_0 = L_{0i}$,

$L = L_i$, $F_{ext} = F_{exti}$, где i принимает значения 1 или 2).

Решение уравнения (32) имеет вид [8]:

$$L(t) = \frac{1}{a} \left(\frac{D_1 t - 1}{D_2} \pm \sqrt{a F_{ext} t - b} \right), \quad (33)$$

где

$$a = \frac{\rho A_0}{k_0}, \quad b = \frac{m_0}{k_0} - a L_0. \quad (34)$$

Скорость границы раздела аустенит / мартенсит может быть найдена дифференцированием (33) по времени:

$$\frac{dL(t)}{dt} = V_b = \frac{1}{a} \left(\frac{D_1}{D_2} \pm \sqrt{aF_{ext}} \right). \quad (35)$$

Константы D_1 и D_2 определяются по формулам

$$D_1 = \frac{\pm \sqrt{aF_{ext}} - aV_b}{aL_0 + b}, \quad D_2 = -\frac{1}{aL_0 + b}. \quad (36)$$

Подстановка (36) в (33) дает

$$L(t) = V_b t + L_0. \quad (37)$$

Ширина мартенситной прослойки $l_m(t)$ в любой момент времени t определяется разностью

$$l_m(t) = L_2(t) - L_1(t), \quad (38)$$

где

$$L_1(t) = V_{b1} t + L_{01}, \quad (39)$$

$$L_2(t) = V_{b2} t + L_{02}. \quad (40)$$

Здесь индексы 1 и 2 относятся к первой и второй границе мартенситной прослойки соответственно.

Выводы. Решена статическая и динамическая задача для находящегося в жесткой заделке нагруженного призматического монокристалла с памятью формы с находящейся в нем мартенситной прослойки. Показано, что в статическом равновесии мартенситной прослойки при данной схеме нагружения в плоскостях границ раздела аустенит / мартенсит действуют силы противоположного знака. При этом изменение ширины мартенситной прослойки линейно зависит от разности скоростей границ раздела.

ЛИТЕРАТУРА

1. Ullakko, K. Magnetically controlled shape memory alloys: a new class of actuator materials / K. Ullakko // J. Mater. Eng. Perform. – 1996. – V. 5. – P. 405–409.
2. James, R. D. Large field-induced strains in ferromagnetic shape memory materials / R. D. James, R. Tickle, M. Wuttig // Mater. Sci. Eng. – 1999. – V. A273–275. – P. 320–325.
3. Tickle, R. Ferromagnetic shape memory in the NiMnGa system / R. Tickle, R. D. James, T. Shield, M. Wuttig, V. V. Kokorin // IEEE Trans. Magn. – 1999. – V. 35. – P. 4301–4310.

4. O’Handley, R. C. Phenomenology of giant magnetic-field induced strain in ferromagnetic shape-memory materials / R. C. O’Handley, S. J. Murrey, M. Marioni, H. Nembach, S. M. Allen // J. Appl. Phys. 2000. – V. 87. – P. 4712–4717.

5. Murrey, S. J. 6% magnetic-field-induced strain by twin-boundary motion in ferromagnetic Ni-Mn-Ga / S. J. Murrey, M. Marioni, S. M. Allen, R. C. O’Handley // Appl. Phys. Lett. – 2000. – V. 77. – P. 886–888.

6. Saren, A. Dynamic twinning stress and viscous-like damping of twin boundary motion in magnetic shape memory alloy Ni-Mn-Ga / A. Saren, K. Ullakko // Scripta Materialia. – 2017. – V. 139. – P. 126–129.

7. Воднев, В. Т. Основные математические формулы: Справочник / В. Т. Воднев, А. Ф. Наумович, Н. Ф. Наумович. – Мн.: Выш. шк., 1988. – 269 с.

8. Зайцев, В. Ф. Справочник по обыкновенным дифференциальным уравнениям / В. Ф. Зайцев, А. Д. Полянин. – М.: Физматлит, 2001. – 576 с.

Поступила 15.07.2022

УДК 539.3

Василевич Ю. В.¹, Остриков О. М.²

**РОЛЬ СИЛ НЕУПРУГОЙ ПРИРОДЫ В ФОРМИРОВАНИИ
ОСТАТОЧНЫХ КРАЕВЫХ НАНОДВОЙНИКОВ
КЛИНОВИДНОЙ ФОРМЫ**

*1. Белорусский национальный технический университет,
Минск, Беларусь*

*2. УО «Гомельский государственный технический университет имени П. О. Сухого»,
Гомель, Беларусь*

Получено условие равновесия краевого нанодвойника при наличии сил неупругой природы. Показано, что для обеспечения возможности существования остаточного нанодвойника в деформированном твердом теле необходимо наличие сил внутреннего трения.

Введение. Исследование механического двойникования материалов, используемых в машиностроении, теплоэнергетике и др. отраслях промышленности обусловлено потребностью инженерной практики и необходимостью моделирования процессов разрушения в области механики деформируемого твердого тела. Связано это с тем, что высокие скорости развития двойниковых прослоек и связанные с этим динамические эффекты способствуют большой концентрации напряжений на границах двойников и в их вершинах, которые необходимо учитывать при прогнозировании полей напряжений для обеспечения прочности деталей, особенно в ответственных узлах механических систем.

В отличие от упругих двойников, остаточные механические двойники не исчезают после снятия деформирующей нагрузки на кристалл [1–6]. Основной вклад в практически нулевую подвижность границ остаточных двойников преимущественно обеспечивается полными дислокациями, возникающими у границ раздела двойник – материнский кристалл в результате релаксации напряжений, обусловленных не только внешней нагрузкой, но и двойниковыми границами, являющимися концентраторами больших внутренних напряжений [7; 8]. Полные дислокации являются главной составляющей в природе неупругих сил, препятствующих перемещению двойникообразующих дислокаций [8]. Представляет научный интерес разработка методики количественной оценки роли сил неупругой природы, обеспечивающих фиксацию двойниковых границ после снятия нагрузки, деформировавшей кристалл.